

ԽԻՍՏ ՆԵՂՎԱԾ ՊԱՅՄԱՆՆԵՐՈՒՄ ՍՈՂԱՆՔԱՅԻՆ ԿԵՏԵՐԻ ՏԵՂԱՇԱՐԺԻ ԴԻՏՄԱՆ ԳԾԱՅԻՆ ՀԱՏՈՒՄՆԵՐԻ ՕԳՏԱԳՈՐԾՈՒՄԸ

Պրոֆեսոր, տեխն. գիտ. դոկտոր ԳԵՐՈՎԻ ՏԵՐ-ՍՏԵՓԱՆՅԱՆ^{1*}

և աշխարհագրագետ ԳՈԼՈԴՅԱՆ ԶԱ.ՔԵՅՅԱՆ²

Ո՞ն թերաւում: Տեղանքի նեղված պայմաններում սողանքային կետերի տեղաբաշխման գնողեղիական դիտումները կատարել անկումային հատումների սովորական մեթոդով բավական դժվար էր: Նման դիտքերում ավելի հարմար է գծային հատումների բազմաճառագայթային դիֆերենցիալ մեթոդը: Դիտումների արդյունքների մշակումը կարելի է կատարել գրաֆիկական պարզ մեթոդով:

Գործնականում հանդիպում են սողանքների դինամիկայի ուսումնասիրման դեպքեր, երբ տեղաշարժի դիտումը պետք է կատարել տեղանքի խիստ նեղված պայմաններում, օրինակ, սողանքային գոտու և կառուցվածքի անմիջական հարման տեղում:

Անկյունային հատման սովորական մեթոդը այս դեպքերում կիրառելի չէ, քանի որ նեղվածքի պատճառով դժվարանում է գործիքի տեղակայումը, իսկ երրեմն էլ, հեռավորությունների կարճության պատճառով, դիտասկեռելն անհնարին է դառնում: Տվյալ դեպքում ավելի պարզ և ճշգրիտ է գծային հատումների մեթոդը: Այդ եղանակը լուսաբանված է ներքեւում բերված օրինակում:

Դիլիջան քաղաքի կենտրոնական մասի խոշոր սողանքի ստորոտում դանվում է երածշտական դպրոցի երկարկանի շենքը, որը կառուցվել է անցյալ դարի վաթսոնական թվականներին: Քաղաքի կենտրոնական մասն ընդուրությունը խոշոր սողանքի ակտիվացման հետևանքով, երեսունական թվականներին զարգացավ լանջի խորքային սողքը և սկսվեց հողային զանգվածի աստիճանական տեղաշարժումը դեպի դպրոցի շենքը: Սողանքի սահեցման մակերևույթն անցնում էր դպրոցի շենքի հիմքի վերին շուրջից քիչ վեր (նկ. 1, ի)³: 1959 թ. շենքը պահպանելու համար կառուցվեց 2 մ բարձրությամբ և ներքին մասում 1,5 մ լայնությամբ հենապատ 1: Այդ հենապատը հաշվարկված չէր հողի պասիվ ճնշման համար: Անբավարար չափերի հետևանքով պատը չէր կարող դիմադրել սողացող զանգվածի ճնշմանը: Լանջի շարունակվող խորքային սողքի հետևանքով 1966 թ. հենապատը տեղաշարժվեց դեպի շենքի կողմը (դիրք 2, նկ. 1, ի) և սկսեց ճնշել պատշամքի երկաթբետոնն այսուներին 3 ավելիով նրանց:

Սահեղված վտանգի պատճառով սկզբում որոշվեց քանդել շենքը: Սակայն երկարանական դիտությունների ինստիտուտի կողմից 1965 թ. կատար-

¹ Գեոմեխանիկայի բաժնի վարիչ:

² Գեոմեխանիկայի բաժնի պատասխանական դիտությունների ինժեներ:

³ ՀՍՍՀ ԳԱ երկարանական դիտությունների ինստիտուտ:

⁴ Նկարները տե՛ս էջ 113—114:

ված զննումը ցույց տվեց, որ սահքի մակերևույթն ամրող երկայնությամբ հատում է հենապատը վերին շուրջի մակարդակում և որ այդ մակերևույթի ներքեւ ընկած գոտում ոչ մի ձևափոխություն չի կատարվում: Ենելով դրանից հանձնարարվեց դպրոցի շենքը շքանդել, այլ նրա անվտանգությունը ապահովելու համար կառուցել անշարժ գրունտի վրա հիմնված նոր հենապատ, որը վելու համար կառուցել անշարժ գրունտի վրա հիմնված նոր հենապատ, որը կկարողանա դիմանարել սողացող զանգվածի ձնշմանը. առաջարկվեց շենքի անմիջապես մոտ ընկած մասում կատարել լանջի տեղաշարժման դիտումներ նոր 4 հենապատը կառուցվեց 1966 թ., սակայն այն ևս չուներ անհրաժեշտ շափեր:

Լանջի դիմամիկայի դիտումները կատարելու համար կիրառվեց գծային հատումների դիֆերենցիալ մեթոդը. Այն կայանում է լանջի մակերևույթի վրա մի շարք սողանքային կետերի տեղադրման, և այդ կետերից մինչև մի քանի մարկաները հեռավորությունների շափման մեջ. այդ մարկաները տեղադրված են շենքի բակի կողմի լրիվ կայուն պատի վրա: Պատի մարկաներից դեպի սողանքային կետերը ճառագայթների թերության գեպքում, որոշվում է նրանց թերության անկյունը և հաշվարկվում են ուղղումները: Քանի որ գծի թերությունը թիւ փոփոխական է, ապա այդ ուղղումը որոշվում է միայն մեկ անգամ, դիտման ցանցի կազմակերպման ժամանակ և հետագայում մտցվում է բոլոր շափված հեռավորությունների մեջ:

Շենքի պատին ամրացվել են երեք մարկաներ՝ A, B և C, իսկ լանջի վրա՝ 10 սողանքային կետեր (№ 201—210): 1965—68 թթ. ընթացքում կատարվել է դիտումների 6 ցիկլ: Զափումները կատարվել են 50 մ երկարությամբ պողպատե շափերից օգնությամբ: Արդյունքների ամրող մշակումը կատարվել է դրաֆիկական մեթոդով: Այդ մեթոդն բաղկացած է հետեւալ գործողություններից՝

1. Շենքի պլանի վրա ցույց է տրվում պատի A, B և C մարկաների տեղադրությունը:

2. Ուղիղ հատումների եղանակով առաջին ցիկլի շափումների տվյալների համաձայն (հաշվի առնելով թերության ուղղումը) գրաֆիկորեն որոշվում է սողանքային բոլոր կետերի դիրքը և կառուցվում է դիտման ցանցի պլանը (նկ. 1, ա):

3. Յուրաքանչյուր սողանքային կետի համար կազմվում է գծագիր, որի վրա ցույց են տրվում կոռորդինատային առանցքները և D_i տեղափոխման գծերը. այդ գծերը անցկացվում են զուգահեռ՝ համապատասխան ճառագայթներին: Նկ. 2-ում ցույց է տրված կառուցվում № 206 սողանքային կետի համար:

4. Տեղափոխման գծերի ծայրերին վերակցվում են նշաններ. պլանը համապատասխանում է պատի մարկաների և սողանքային կետերի միջև եղած հեռավորության մեծացմանը, մինուսը—նվազեցմանը:

5. Դիտման յուրաքանչյուր ցիկլում բոլոր սողանքային կետերի համար հաշվարկվում է հեռավորությունների աճը (տեղափոխման մեծությունը). Այդպիսի հաշվարկ բերված է աղյուսակ 1-ում⁴ № 206 սողանքային կետի համար, չորրորդ ցիկլում:

6. Տեղափոխման մեծությունները տեղադրվում են համապատասխան տեղափոխման D_i գծերի վրա: Ստացված կետերում տեղափոխման գծերին ուղղահայց անց են կացվում L_i դիրքի գծեր. սողանքային տեղաշարժված դիրքը ստացվում է L_i գծերի հատման կետում: Գծագրի վրա (նկ. 2) ցույց է տրված նման կառուցված սողանքային կետի համար չորրորդ ցիկլում:

Եթե սողանքային կետը դիտվել է երկու ճառագայթով (կետեր № 202—205 և 208—209), ապա կոռորդինատների սկզբի և դիրքի գծերի հատման կետի միջև եղած հեռավորությունը որոշվում է սողանքային կետի լրիվ տեղաշարժումը: Այսպիսով, երկու ճառագայթների գեպքում դիտման սիսալը ամրող ցությամբ մտնում է արդյունքի մեջ: Եթե սողանքային կետը դիտվել է երեք

առագայթով (կետեր № 201, 206, 210), ապա դիրքի գծերի հատվելուց առանում է սխաների փոքր եռանկյունի: Նրա հավասարեցումը կատարվում է տեղաշափով: Եթե մի որևէ կետ դիտվել է երեքից ավել ճառագայթներով, ապա դիրքի գծերի հատվելուց կատարելու առաջել բարդ սխաների պատկեր: Խալաների արդյունի պատկերի հավասարեցումը կատարվում է գրաֆիկական այլունի եղանակներով (Կելլև և Բելոլիկով, 1954)⁵:

7. Այդպիսի գծագրի կառուցումից ստանում են գրաֆիկ, որը ցուց է տական սողանքային կետի դիրքը դիտումների տարրեր ցիկլերում (նկ. 2, 1-ից 7ինչև 6 կետերը):

8. Կառուցվում է ժամանակի և սողանքային կետի տեղաշարժման միջև զած կախման գրաֆիկը (նկ. 3, կորագիծ S):

9. Կատարելով ժամանակի և տեղաշարժման միջև կախման կորագծի դրաֆիկական դիֆերենցումը, ստանում են ժամանակի և սողքի արագության թիզ եղած կախման գրաֆիկը (նկ. 3, կորագիծ V):

10. Հիմնական սողանքագոյացնող գործողի—մթնոլորտային տեղումների ետ հակադրելու նպատակով նույն գրաֆիկի վրա տրվում է գումարային ամական տեղումների տատանումների կորագիծ, ըստ մոտակա օդերևութաբարական կայանի (նկ. 3, կորագիծ P):

Նկարագրված եղանակն աշխատանքի մեջ հեշտ և հարմար է, չի պահանջում հատուկ սարբավորում և տալիս է բավականին ճշգրիտ արդյունքներ: Են կարող է կիրառվել նեղված պայմաններում օգտագործելու համար, եթե իմնական և սողանքային կետերի միջև եղած հեռավորությունը շի գերազանցում պողպատե շափերիցի երկարությանը, այսինքն 50 մետրից:

Վերը նշելով ստացված արդյունքները, պետք է նկատի ունենալ, որ 1966 թվականը սկսվեց ցամաքուրդի կառուցումը Մեծ Թալայում, քաղաքի կենտրոնական մասը մուտք գործող գետնաշղթերի հավաքման և հեռացման նպատակով: Այդ աշխատանքը մինչև վերջ շի հասցել, որի պատճառով ցամաքուրդի առողջաբար աղեցությունը ժամանակի ընթացքում սկսեց մարել:

Մինչև ցամաքուրդի կառուցումը, լանջի խորքային սողքի արագությունը՝ 1966 թ. տատանվում էր 120—140 մ/ամիս սահմաններում, տարվա վերջին՝ յն սկսեց նվազել: Մթնոլորտային տեղումների ընդհանուր տարեկան քանակը՝ կազմեց 547,3 մմ: 1967 թ. տեղումների տարեկան ընդհանուր առաջի մեծ քանակի պայմաններում (719,2 մմ), խորքային սողքի արագությունը շի գերազանցել 20 մմ/ամիս: 1968 թ. սողքի արագությունը սկսեց աստիճանաբար ավելանալ և աշնան սկզբին հասավ 150 մմ/ամիս:

Չգերագնահատելով ստացված տվյալների արժեքը, քանի որ դրանք վետարելում են լանջի միայն մեկ կետին, կարելի է դրական գնահատել ցամաքուրդի դերը:

ПРИМЕНЕНИЕ ЛИНЕЙНЫХ ЗАСЕЧЕК ДЛЯ НАБЛЮДЕНИЯ ЗА СМЕЩЕНИЕМ ОПОЛЗНЕВЫХ ТОЧЕК В ОЧЕНЬ ТЕСНЫХ УСЛОВИЯХ МЕСТНОСТИ

Профессор, докт. техн. наук Г. И. ТЕР-СТЕПАНИЯН^{1*} и географ В. В. ЗАКЕЯН^{2**}.

Р е ф е р а т. В очень тесных условиях местности затруднительно производство геодезических наблюдений за смещением оползневых точек применением обычных методов угловых засечек. Удобнее применение многолучевого дифференциального метода линейных засечек; обработка результатов наблюдений может производиться простым графическим методом.

⁵ Գրականությունը տե՛ս էջ 112:

¹ Зав. отделом геомеханики.

² Старший инженер отдела геомеханики.

* Институт геологических наук АН Арм. ССР.

В практике изучения динамики оползней встречаются случаи, когда определение смещений приходится производить в очень тесных условиях местности, например, непосредственно у примыкания оползневой зоны к сооружению. Обычные методы угловых засечек в таких случаях неприменимы, так как теснота затрудняет установку инструмента, а малое расстояние часто делает невозможным визирование.

Наиболее простым и точным является в данном случае применение метода линейных засечек. Этот метод рассматривается на примере.

У подножия крупного оползня в центральной части города Дилижана расположено двухэтажное здание музыкальной школы, построенное в шестидесятых годах прошлого столетия. В связи с активизацией крупного оползня, захватывающего центральную часть города, в тридцатых годах развилась глубинная ползучесть склона и началось постепенное продвижение земляных масс по направлению к зданию школы. Поверхность скольжения оползня проходила несколько выше обреза фундамента здания школы (рис. 1, б)³. В 1959 г. для защиты здания была выстроена подпорная стенка 1 высотой 2 м и шириной понизу до 1,5 м. Эта стенка не была рассчитана на пассивное давление земли.

Ввиду малых размеров стенка оказалась неспособной воспринять давление оползающих масс. В результате продолжающейся глубинной ползучести склона к 1966 г. подпорная стенка сместилась в сторону здания (положение 2, рис. 1, б) и стала давить на железобетонные стойки балкона 3, разрушая их.

В связи с создавшейся угрозой, вначале было решено снести здание. Однако обследование здания, произведенное Институтом геологических наук в 1965 г., показало, что на всем протяжении поверхность скольжения сечет подпорную стенку на уровне ее обреза и что в области, расположенной ниже этой поверхности, никаких деформаций не происходит. Поэтому было рекомендовано здание школы не сносить, а построить новую подпорную стенку, опирающуюся на неподвижный грунт и способную воспринять давление оползающих масс; было также предложено вести наблюдения за подвижками склона в непосредственной близости от здания. Новая подпорная стенка 4 была выстроена в 1966 г. Однако и она не обладала необходимыми размерами.

Для наблюдения за динамикой склона был применен метод дифференциальных линейных засечек. Он заключается в установке ряда оползневых точек на поверхности склона и в измерении расстояния от этих точек до нескольких стенных марок, расположенных на вполне устойчивой дворовой стене здания. При наклоне лучей от стенных марок к оползневым точкам определяется их угол наклона и вычисляются поправки. Поскольку наклон линии — малоизменяющаяся величина, эти поправки определяются всего один раз при организации наблюдательной сети и в дальнейшем вносятся во все измеренные расстояния.

На стенах здания были установлены три стенные марки — А, В и С, а на склоне — 10 оползневых точек (№ 201—210). В течение 1965—1968 гг. было проведено шесть циклов наблюдений. Измерения проводились стальной рулеткой длиной 50 м. Вся обработка результатов велась графическим методом. Этот метод заключается в выполнении следующих операций.

1. На плане здания показывается расположение стенных марок А, В и С.

³ Рисунки см. на стр. 113—114.

2. По данным измерений первого цикла (с учетом поправки на наклон) способом прямых засечек графически определяется положение всех оползневых точек и строится план наблюдательной сети (рис. 1, а).

3. Для каждой из оползневых точек составляется чертеж, на котором показываются координатные оси и линии перемещения D_i ; эти линии проводятся параллельно соответствующим лучам. На рис. 2 показано построение для оползневой точки № 206.

4. Концам линий перемещения D_i приписываются знаки: плюс соответствует увеличению расстояния между стенной маркой и оползневой точкой, минус — уменьшению.

5. Для всех оползневых точек вычисляются приращения расстояний (величины перемещений d_i в каждом цикле наблюдения). В табл. 1 приведен такой расчет для оползневой точки № 206.

Часть I Таблица 1.

Упавший № 206 կեմ ենավուրյան փափուրյան

Изменение расстояний оползневой точки № 206.

№ циклов	№ марк	Дата	Цикл шагов месяцев	Марка А		Марка В		Марка С	
				Марка протекло расст. ние, м	Прира- щение, мм	Марка протекло расст. ние, м	Прира- щение, мм	Марка протекло расст. ние, м	Прира- щение, мм
1	7.12.65	0	18,710	—	5,486	—	6,035	—	—
2	29.12.65	0,73	18,700	-10	5,460	-26	6,005	-30	—
3	11.02.66	2,13	18,695	-15	5,430	-55	6,000	-35	—
4	17.06.66	6,33	18,655	-55	5,270	-215	5,880	-155	—
5	19.10.67	22,40	18,648	-62	5,209	-276	—	—	—
6	2.10.68	33,83	18,585	-125	4,940	-545	—	—	—

6. Величины перемещений d_i откладываются на соответствующих линиях перемещений D_i . В полученных точках проводятся линии положения L_i , перпендикулярные к линиям перемещения D_i ; смещенное положение оползневой точки получается на пересечении линии L_i . На чертеже (рис. 2) показано такое построение для оползневой точки в четвертом цикле.

Если оползневая точка наблюдалась двумя лучами (точки № 202—205 и 208—209), то расстояние между началом координат и точкой пересечения линии положения определяет полное перемещение оползневой точки. Таким образом, при двух лучах ошибка наблюдений полностью входит в результат. Если оползневая точка наблюдалась тремя лучами (точки № 201, 206, 210), то в пересечении линии положения образуется небольшой треугольник погрешности. Его уравнивание производится на глаз. Если бы какая-либо точка наблюдалась числом лучей большим, чем три, то в пересечении линий положения получалась бы более сложная фигура погрешности. Уравнивание таких фигур погрешности производится графическим способом (Келль и Белоликов, 1954).

7. В результате такого построения на чертеже получают график, показывающий положение оползневой точки в различные циклы наблюдения (рис. 2, точки 1—6).

8. Строится график зависимости между временем и смещением оползневой точки (рис. 3, кривая *S*).

9. Производя графическое дифференцирование кривой зависимости между временем и смещением, получают график зависимости между временем и скоростью ползучести (рис. 3, кривая *V*).

10. Для сопоставления с ходом измерения основного оползнеобразующего фактора—атмосферных осадков—на том же графике дается кривая колебаний суммарных месячных осадков по ближнему метеорологическому пункту (рис. 3, кривая *P*).

Описанный метод прост и удобен в работе, не требует специального оборудования и дает достаточно точные результаты. Он может быть рекомендован для применения в тесных условиях, когда расстояние между опорными и оползневыми точками не превышает длины стальной ленты, то есть 50 м.

Анализируя полученные результаты, следует иметь в виду, что осенью 1966 г. было начато сооружение перехватывающего дренажа в Мец-Тала для сбора и отвода грунтовых вод, поступающих в центральную часть города; эта работа не была доведена до конца и поэтому оздоровливающее влияние дренажа стало постепенно затухать. Скорость глубинной ползучести склона в 1966 г., до сооружения дренажа, колебалась в пределах 120—140 мм/мес; к концу года она стала снижаться. Общее годовое количество выпавших в 1966 г. осадков составило 547,3 мм. В 1967 г. при значительно большем количестве годовых осадков (719,2 мм) скорость глубинной ползучести не превышала 20 мм/мес. В 1968 г. скорость ползучести стала постепенно увеличиваться и к началу осени достигла 150 мм/мес.

Не переоценивая значения полученных данных, поскольку они относятся только к одной точке склона, можно однако положительно оценить роль дренажа.

USE OF LINEAR INTERSECTIONS FOR OBSERVATION OF DISPLACEMENT OF LANDSLIDE POINTS IN VERY CLOSE CONDITIONS OF THE LOCALITY

GEORGE TER-STEPANIAN, Professor, Dr.Tech.Sc.^{1*} and
VOLODIA ZAKEIAN, Geographer^{2*}

Abstract. The performance of geodetic observations using customary method of angular intersections is difficult in very close conditions of the locality. It is suitable to use the multiradial differential method of linear intersections; the analysis of results of observations may be carried out by a simple graphic method.

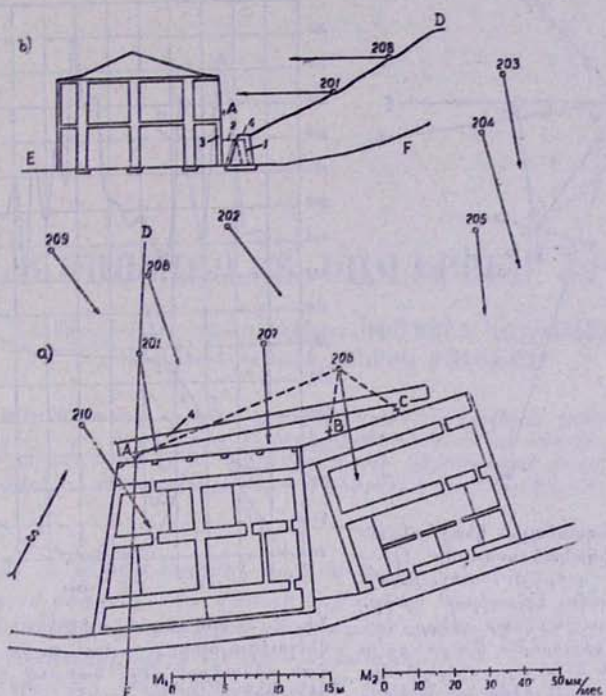
ФИЦИЛЬНОСТЬ—ЛИТЕРАТУРА—REFERENCE

Кель Н. Г. и Белоликов А. Н., 1954. Определение смещений точек на оползнях дифференциальным методом. М., Углехимиздат.

¹ Head, Dept. of Geomechanics

² Senior Engineer, Dept. of Geomechanics

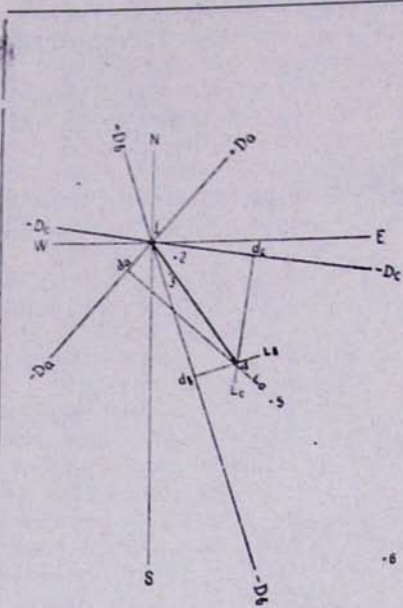
* Geological Institute, Armenian Academy of Sciences.



Նկ. 1. Երաժշտական դպրոցին կից սողանքը Դիլիջանում.
a) պլան. b) կորովածք լուս ՝ ըստ $D-E$ գիծ: A , B և C —պատի
մարկաներ; F —սահեցուն մակերևույթ; սրբները ցուց են
տայիս սողանքային կետերը և տեղաշարժման արագության
վեկտորները; M_1 —գծային մասշտաբը մետրերով; M_2 —տե-
ղաշարժման արագության մասշտաբը միլիմետրերով ամսում:

Рис. 1. Оползень у музыкальной школы в Дилижане:
а) план; б) разрез по линии $D-E$. A , B и C —стенные
маркеры; F —поверхность скольжения; стрелки показывают
оползневые точки и векторы скорости смещения.
 M_1 —линейный масштаб, метры; M_2 —масштаб скорости
смещения, миллиметры в месяц.

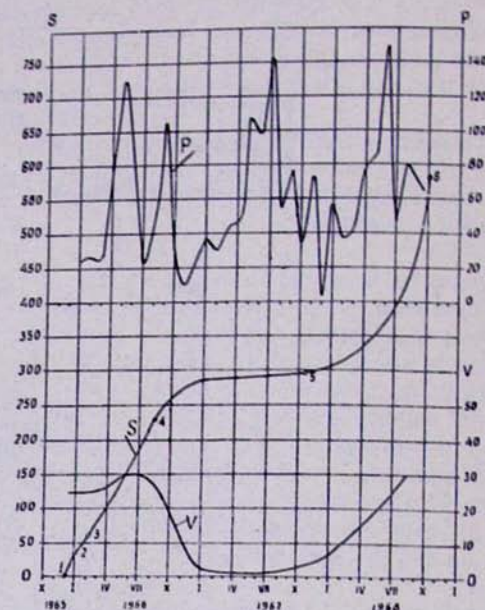
Fig. 1. Landslide at musical school in Dilijan, Armenia;
a) plan; b) cross-section along line $D-E$. A , B and C —wall
benchmarks; F —sliding surface. Arrows show
landslide points and vectors of displacement rate. M_1 —
linear scale in metres; M_2 —scale of displacement rate,
millimetres per mensem.



նկ. 2. № 206 սողանեալին կետի տեղաշարժման դրաֆիլական ուռուսմբ: D_i —տեղաշարժման զծեր, d_i —տեղաշարժման մեծություններ. L_i —դիրքի զծեր. 1, 2...6—սողանեալին կետի դիրքը համապատասխան ցիկլերում: Սլաքը ցույց է տալիս առաջին և չորրորդ ցիկլերի միջև եղած ժամանակամիջոցում տեղաշարժման վեկտորը:

Рис. 2. Графическое определение смещения оползневой точки № 206. D_i — линии перемещения; d_i — величина перемещения; L_i — линии положения; 1, 2 . . . 6 — положение оползневой точки в соответствующих циклах наблюдений. Стрелкой показан вектор смещения за время между первым и четвертым циклами наблюдений.

Fig. 2. Graphical determination of displacement of the landslide point No. 206. D_i —displacement lines; d_i —displacement values; L_i —position lines; 1, 2 . . . 6 —position of the landslide point in corresponding cycles of observation. The arrow shows the vector of displacement for the time interval between first and fourth cycles of observation,



նկ. 3. № 206 սողանեալին կետի տեղաշարժման վերլուծությունը: S —ժամանակի և տեղաշարժման մեծության միջև կախման կորագիծը (օրդինատները մմ-ով ձախից): V —ժամանակի և տեղաշարժման արագության միջև կախման կորագիծը (օրդինատները մմ/ամսում աշխ ներքեւով): P —ժամանակի միջև կախման կորագիծը (օրդինատները մմ-ով աշխ վերևում):

Рис. 3. Анализ смещения оползневой точки № 206. S —кривая зависимости между временем и величиной смещения (ординаты в мм слева) V —кривая зависимости между временем и скоростью смещения (ординаты в мм/мес справа внизу); P —кривая зависимости между временем и суммарными месячными осадками (ординаты в мм справа вверху).

Fig. 3. Analysis of displacement of the landslide point No. 206. S —relation between time and the value of displacement (ordinates in millimetres on the left); V —relation between time and the rate of displacement (ordinates in millimetres per month below); P —relation between time and total monthly precipitation (ordinates in millimetres on the right above).